

$U(6/20)$ 超对称性的 $U(5)$ 极限

朱培豫 曹雨芳 吴佑实

(上海铁道学院) (华东师范大学) (安徽机电学院)

摘要

本文讨论 $U(6/20)$ 超对称性的 $U(5)$ 极限, 先在数学上导出有关的约化公式, 接着在 $M = 1$ 情况下, 讨论了动力学对称性, 画出典型能谱, 然后就 $^{103}_{44}\text{Ru}_{59}$, 核将理论与实验作了比较.

一、引言

我们在前面一篇文章^[1]中讨论了 $U(6/20)$ 超对称性及其 $\text{Spin}(6)$ 极限. 本文讨论 $U(6/20)$ 超对称性的 $U(5)$ 极限. 正如前文一样, 我们将群表示一律写成 Partition 形式, 以便直接与扬 (Young) 图联系起来.

第二节里, 我们找到了 $SP(4)$ 表示到相应的 $SO(5)$ 表示的变换公式, 又用推广的群表示 Kronecker 积的扬 (Young) 图法^[2], 导出了 $SO(5) \otimes SP(4) \rightarrow \text{Spin}(5)$ 的整套约化公式.

第三节里, 我们得出了在 $M = 1$ 情况下 $U(6/20)$ 超对称性的 $U(5)$ 极限的波函数和激发能公式, 画出了典型能谱, 而后就 $^{103}_{44}\text{Ru}_{59}$, 核将理论与实验作了比较.

二、群链与约化

如果原子核中的偶质量核心具有 $U(5)$ 极限对称性

$$U(6) \supset U(5) \supset SO(5) \supset SO(3) \supset SO(2) \quad (2.1)$$

那末原子核的 $U(6/20)$ 超对称性有相应一条群链

$$\begin{aligned} U(6/20) &\supset U^{(B)}(6) \otimes U^{(F)}(20) \supset U^{(B)}(5) \otimes U^{(F_k)}(5) \otimes U^{(F_i)}(4) \supset U^{(B+F_k)}(5) \otimes U^{(F_i)}(4) \\ &\supset SO^{(B+F_k)}(5) \otimes SP^{(F_i)}(4) \supset \text{Spin}(5) \supset \text{Spin}(3) \supset \text{Spin}(2) \end{aligned} \quad (2.2)$$

(1) $U(6)$ 到 $U(5)$ 的约化, 由文献 [3, 4] 给出.

(2) $U(5)$ 到 $SO(5)$ 的约化, 也由文献 [4] 给出. 应注意到我们所用的 $SO(5)$ 的

不可约表示 ($\tau_1\tau_2$) 和文献 [4] 中 ($\lambda \mu$) 之间关系是 $\tau_1 = \frac{\lambda}{2} + \mu$, $\tau_2 = \frac{\lambda}{2}$.

(3) $SU(4)$ 到 $SP(4)$ 的约化, 由文献 [3] 给出。并注意到 $SU(4)$ 到 $SP(4)$ 的约化是完全可约的。

(4) $SP(4)$ 与 $SO(5)$ 表示的 Partition 指标之间的变换关系。设 $SP(4)$ 的 Partition 指标为 $\langle n_1 n_2 \rangle$, 而 $SO(5)$ 为 $(\tau_1 \tau_2)$, 我们有

$$n_1 = \tau_1 + \tau_2, \quad n_2 = \tau_1 - \tau_2 \quad (2.3)$$

(5) $SO(5) \otimes SP(4)$ 到 Spin(5) 的约化。用推广的群表示 Kronecker 积的扬 (Young) 图法^[2], 我们导出下列约化公式:

$$\begin{aligned} (\tau_1 \tau_2) \otimes \left(\frac{1}{2} \ 1/2 \right) &= (\tau_1 + 1/2, \tau_2 + 1/2) \\ &\oplus \left(\tau_1 - \frac{1}{2}, \tau_2 + \frac{1}{2} \right) \oplus \left(\tau_1 + \frac{1}{2}, \tau_2 - \frac{1}{2} \right) \\ &\oplus (\tau_1 - 1/2, \tau_2 - 1/2). \quad \tau_1 > \tau_2 \end{aligned} \quad (2.4)$$

$$\begin{aligned} (\tau_1 0) \otimes (n + 1/2, 1/2) &= (\tau_1 + n + 1/2, 1/2) \\ &\oplus \left(\tau_1 + n - \frac{1}{2}, 3/2 \right) \oplus \left(\tau_1 + n - 1/2, \frac{1}{2} \right) \\ &\oplus (\tau_1 + n - 3/2, 5/2) \oplus (\tau_1 + n - 3/2, 3/2) \\ &\oplus (\tau_1 + n - 3/2, 1/2) \oplus \cdots \oplus (\tau_1 + 1/2, n + 1/2) \\ &\oplus (\tau_1 + 1/2, n - 1/2) \oplus \cdots \oplus (\tau_1 + 1/2, 1/2) \\ &\oplus (\tau_1 - 1/2, n + 1/2) \oplus (\tau_1 - 1/2, n - 1/2) \oplus \cdots \\ &\oplus \left(\tau_1 - 1/2, \frac{1}{2} \right) \oplus (\tau_1 - 3/2, n - 1/2) \\ &\oplus (\tau_1 - 3/2, n - 3/2) \oplus \cdots \oplus (\tau_1 - 3/2, 1/2) \oplus \cdots \\ &\oplus (\tau_1 - n + 1/2, 3/2) \oplus (\tau_1 - n + 1/2, 1/2) \\ &\oplus (\tau + n - 1/2, 1/2) \quad \tau > n \end{aligned} \quad (2.5)$$

当 $\tau = n$ 时, (2.3) 和 (2.4) 化为

$$\begin{aligned} (\tau \tau) \otimes \left(\frac{1}{2} \ 1/2 \right) &= (\tau + 1/2, \tau + 1/2) \oplus (\tau + 1/2, \tau - 1/2) \\ &\oplus (\tau - 1/2, \tau - 1/2) \end{aligned} \quad (2.6)$$

$$\begin{aligned} (\tau 0) \otimes (\tau + 1/2, 1/2) &= (2\tau + 1/2, 1/2) \oplus (2\tau - 1/2, 3/2) \\ &\oplus (2\tau - 1/2, 1/2) \oplus (2\tau - 3/2, 5/2) \oplus (2\tau - 3/2, 3/2) \\ &\oplus (2\tau - 3/2, 1/2) \oplus \cdots \oplus (\tau + 1/2, \tau + 1/2) \\ &\oplus (\tau + 1/2, \tau - 1/2) \oplus \cdots \oplus (\tau + 1/2, 1/2) \\ &\oplus (\tau - 1/2, \tau - 1/2) \oplus (\tau - 1/2, \tau - 3/2) \oplus \cdots \\ &\oplus (\tau - 1/2, 1/2) \oplus \cdots \oplus (3/2, 3/2) \oplus (3/2, 1/2) \oplus (1/2, 1/2) \end{aligned} \quad (2.7)$$

(6) Spin(5) 到 Spin(3) 的约化。文献 [2] 中, 用推广的群表示 Kronecker 积的扬

(Young) 图法, 已完成了 $\text{Spin}(5)$ 到 $\text{Spin}(3)$ 的约化, 这一约化不是完全可约的.

三、 $M=1$ 情况下群链的约化

在 $M = 1$ 的情况下, 群链 (2.2) 中 $U^{(F)}(20)$, $U^{(F_k)}(5)$, $U^{(F_i)}(4)$ 的表示分别为

$$\underbrace{[1, 00 \cdots 0]}_{20} \quad [1, 0, 0, 0, 0] \quad \text{和} \quad [1000].$$

设玻色子数为 N , 则 $U^{(B)}(6)$ 到 $U^{(B)}(5)$ 的约化为

$$[N] = [N] + [N - 1] + \cdots + [1] + [0] \quad (3.1)$$

$U^{(B)}(5) \otimes U^{(F_k)}(5)$ 到 $U^{(B+F_k)}(5)$ 的约化为

$$[n] \otimes [1, 0, 0, 0, 0] = [n + 1, 0, 0, 0, 0] + [n, 1, 000] \quad (3.2)$$

$U^{(F_i)}(4)$ 到 $SP^{(F_i)}(4)$ 的约化为

$$[1000] = \langle 10 \rangle \quad (3.3)$$

$\langle 10 \rangle$ 可变换为 $SO^{(F_i)}(5)$ 下的指标 $(1/2 \ 1/2)$

$SO^{(B+F_k)}(5) \otimes SP^{(F_i)}(4)$ 到 $\text{Spin}(5)$ 及 $\text{Spin}(5)$ 到 $\text{Spin}(3)$ 的约化可按公式(2.4)–(2.7) 以及文献 [7] 中约化表进行.

表 1 列出了 $N = 7, M = 1$ 时 $U^{(B)}(5)$ 的最低表示 $[7.0000]$ 所对应的 $U^{(B+F_k)}(5)$, $SO^{(B+F_k)}(5)$, $\text{Spin}(5)$ 和 $\text{Spin}(3)$ 的全部表示. 也就是说, 列出了 $N = 7, M = 1$ 时 $U^{(B)}(5)$ 表示 $[7, 0000]$ 所对应的全部量子态.

四、动力学对称性

由 $U(6/20)$ 超对称性群链 (2.2). 偶质量核心具有 $U(5)$ 极限对称性, 奇粒子数 $M = 1$ 的原子核的 $U(6/20)$ 超对称波函数为

$$\begin{array}{ccccccccc} | & U(6/20) & U^{(B)}(6) & U^{(F)}(20) & U^{(B)}(5) & U^{(B+F_k)}(5) & SO^{(B+F_k)}(5) & \text{Spin}(5) & \text{Spin}(3) & \text{Spin}(2) \\ | & N & N & M & N^1 & (n_1 n_2) & (\tau_1 \tau_2) & (\sigma_1 \sigma_2), & \delta, J & M_J \end{array} \quad (4.1)$$

哈密顿量为

$$H = H_B + H_F + V_{BF} \quad (4.2)$$

用群链 (2.2) 中出现的诸群的 Casimir 不变量写出 H , 我们就可以求出这种核的本征值问题的解析解:

$$\begin{aligned} E = & E_0(NN) + \alpha N' + \beta N'(N' + 4) + A(n_1 + n_2) + B[n_1(n_1 + 4) \\ & + n_2(n_2 + 2)] + C[\tau_1(\tau_1 + 3) + \tau_2(\tau_2 + 1)] + D[\sigma_1(\sigma_1 + 3) \\ & + \sigma_2(\sigma_2 + 1)] + FJ(J + 1) \end{aligned} \quad (4.3)$$

(4.1) 式中的 δ 是由于 $\text{Spin}(5)$ 到 $\text{Spin}(3)$ 不是完全可约而引进的一个附加量子数, 它不影响激发能.

$N = 3, M = 1$ 的典型能谱如图 1 所示.

表示 $[70000]$ 所对应的 $U(B+F_A)(5)$, $SO^{(B+F_A)}(5)$, $Spin(5)$ 和 $Spin(3)$ 的表示

$U^{(B+F_k)}(5)$ $[n, m]$	$S^{(B+F_k)}(5)$ (τ_1, τ_2)	$\text{Spin}^{(5)}$ (σ_1, σ_2)	$\text{Spin}^{(3)}$ J	
[80]	(80)	(17/2 1/2) (15/2 1/2) (13/2 1/2) (11/2 1/2) (9/2 1/2) (7/2 1/2) (5/2 1/2) (3/2 1/2)	(17/2 33/2 31/2 (29/2) ^a (27/2) ^a (25/2) ^a (23/2) ^a (19/2) ^a (17/2) ^a (15/2) ^a (13/2) ^a (11/2) ^a (9/2) ^a (7/2) (5/2) (3/2) 35/2 29/2 27/2 (25/2) ^a (23/2) ^a (21/2) ^a (19/2) ^a (17/2) ^a (15/2) ^a (13/2) ^a (11/2) ^a (9/2) ^a (7/2) (5/2) 1/2 31/2 25/2 23/2 (21/2) ^a (19/2) ^a (17/2) ^a (15/2) ^a (13/2) ^a (11/2) ^a (9/2) ^a 7/2 5/2 3/2 23/2 21/2 19/2 (17/2) ^a (15/2) ^a (13/2) ^a (11/2) ^a (9/2) ^a 7/2 5/2 3/2 19/2 17/2 15/2 (13/2) ^a (11/2) ^a 9/2 (7/2) 5/2 1/2 15/2 13/2 11/2 (9/2) ^a 7/2 5/2 3/2 11/2 9/2 7/2 5/2 3/2 7/2 5/2 1/2	(17/2 1/2) (15/2 1/2) (13/2 1/2) (11/2 1/2) (9/2 1/2) (7/2 1/2) (5/2 1/2) (3/2 1/2)
(71)	(0,0) (7,1)	(1/2 1/2) (15/2 3/2) (13/2 3/2) (15/2 1/2) (13/2 1/2) (11/2 3/2) (9/2 3/2) (7/2 1/2)	(1/2 1/2) (15/2 3/2) (13/2 3/2) (11/2 1/2) (9/2 1/2) (7/2 3/2) (5/2 1/2) (3/2 1/2)	
(51)	(0,0) (7,1)	(1/2 1/2) (15/2 3/2) (13/2 3/2) (11/2 3/2) (9/2 3/2) (7/2 1/2)	(1/2 1/2) (15/2 3/2) (13/2 3/2) (11/2 1/2) (9/2 1/2) (7/2 3/2)	
(31)	(0,0) (7,1)	(1/2 1/2) (15/2 3/2) (13/2 3/2) (11/2 3/2) (9/2 3/2) (7/2 1/2)	(1/2 1/2) (15/2 3/2) (13/2 3/2) (11/2 1/2) (9/2 1/2) (7/2 1/2)	
(11)	(0,0) (7,1)	(1/2 1/2) (15/2 3/2) (13/2 3/2) (11/2 3/2) (9/2 3/2) (7/2 1/2)	(1/2 1/2) (15/2 3/2) (13/2 3/2) (11/2 1/2) (9/2 1/2) (7/2 1/2)	
(60)	(0,0)	(1/2 1/2) (13/2 1/2) (11/2 1/2) (9/2 1/2) (7/2 1/2) (5/2 1/2) (3/2 1/2) (1/2 1/2)	(1/2 1/2) (15/2 3/2) (13/2) (11/2) (9/2) 7/2 5/2 3/2 27/2 25/2 23/2 (21/2) ^a (19/2) ^a (17/2) ^a (15/2) ^a (13/2) ^a (11/2) ^a (9/2) ^a (7/2) 7/2 5/2 3/2 23/2 21/2 19/2 (17/2) ^a (15/2) ^a (13/2) ^a (11/2) ^a (9/2) ^a (7/2) 7/2 5/2 3/2 19/2 17/2 15/2 (13/2) ^a (11/2) ^a (9/2) ^a (7/2) 5/2 1/2 15/2 13/2 11/2 (9/2) ^a 7/2 5/2 3/2 11/2 9/2 7/2 5/2 3/2 9/2 5/2 3/2 (3/2 1/2) (1/2 1/2) (13/2 1/2) (11/2 1/2) (9/2 1/2) (7/2 1/2) (5/2 1/2) (3/2 1/2) (1/2 1/2)	
(40)	(0,0)	(1/2 1/2) (13/2 1/2) (11/2 1/2) (9/2 1/2) (7/2 1/2) (5/2 1/2) (3/2 1/2) (1/2 1/2)	(1/2 1/2) (15/2 3/2) (13/2 3/2) (11/2 1/2) (9/2 1/2) (7/2 3/2)	

表 2 $^{103}_{44}\text{Ru}$,₉₉ 核的激发能级

$(n_1 n_2)$	$(\tau_1 \tau_2)$	$(\sigma_1 \sigma_2)$	J^*	$E_{\text{理论}} (\text{keV})$	$E_{\text{实验}} (\text{keV})$	$\Delta (\text{keV})$
(80)	(80)	(17/2 1/2)	3/2 ⁺	0	0.0	0
			5/2 ⁺	110	136.0	-26
			7/2 ⁺	264	213.4	+51
			9/2 ⁺	462	557.8	-96
			11/2 ⁺	704	774.0	-70
		(15/2 1/2)	1/2 ⁺	162	174.2	-12
			5/2 ⁺	338	346.3	-8
			7/2 ⁺	492	479.5	+12
			9/2 ⁺	690	735.2	-45
			11/2 ⁺	932	927.2	+5
	(71)	(15/2 3/2)	3/2 ⁺	400	405.6	-6
			5/2 ⁺	510	500.9	+9
			7/2 ⁺	664	621.9	+42
			9/2 ⁺	862	874.1	-12
			11/2 ⁺	1104	1174.1	-70
		(15/2 1/2)	1/2 ⁺	370	431.9	-62
			5/2 ⁺	546	548.3	-2
			7/2 ⁺	700	697.3	+3
			9/2 ⁺	898	911.6	-14
			11/2 ⁺	538	554.6	-17
		(13/2 3/2)	3/2 ⁺	604	592.2	+12
			5/2 ⁺	714	661.2	+53

E 实验值底下划虚线者为该能级的 J^* 值在实验上尚未确定

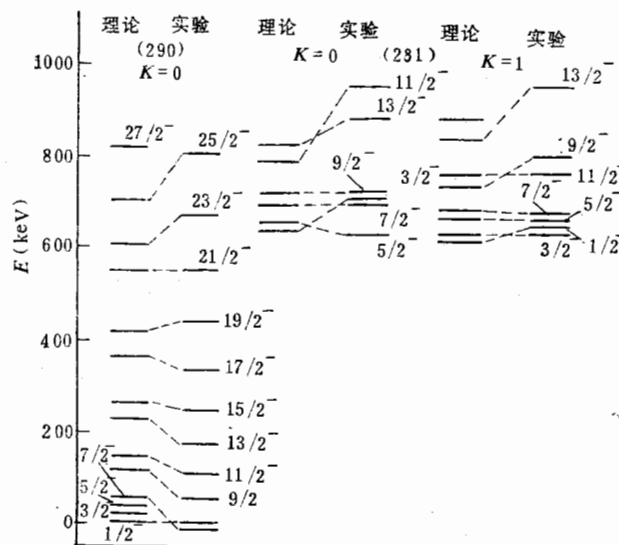


图 1 $N = 3$ $M = 1$ 的典型能谱 方括号内为 $U^{(B+F)}(5)$ 表示的指标,
圆括号内为 $SO^{(B+F)}(5)$ 和 Spin(5) 表示的指标

下面讨论 $^{103}_{44}\text{Ru}_{59}$ 核。这时有 $N = 7$, $M = 1$, 即 $N = 8$ 。利用(4.3)式, 取系数值如下

$$\alpha = 50 \text{ keV}, \beta = -10 \text{ keV}, A = 50 \text{ keV}, B = 10 \text{ keV}, C = -23 \text{ keV}, \\ D = -12 \text{ keV}, F = 22 \text{ keV}.$$

计算 $U^{(B)}(5)$ 最低表示 [7.0.0.00] 所对应的能级中的低激发能级。表 2 列出了理论计算值，并列出了实验值，后者取自文献 [5]。表 2 末栏列出 $\Delta = E^{\text{理论}} - E^{\text{实验}}$ 值。如同文献 [6] 那样，引进

$$\phi = \sum_i |E_i^{\text{理论}} - E_i^{\text{实验}}| / \sum_i E_i^{\text{实验}} \quad (4.4)$$

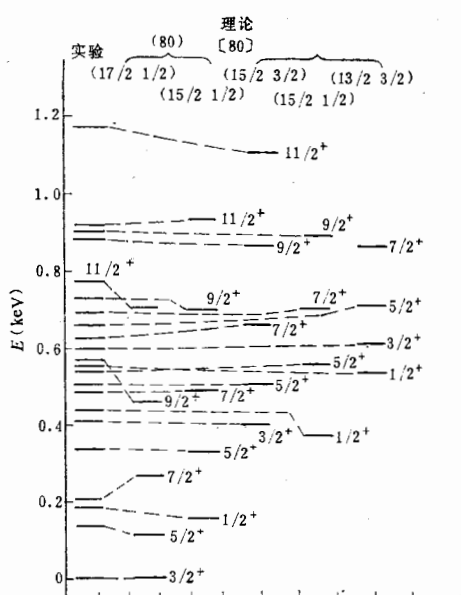


图 2 $^{103}\text{Ru}_{59}$ 核的激发能级

讨论要涉及 $U(6/20)$ 的 $U(5)$ 极限的普遍情形 ($M = 0, 1, 2 \cdots N$)。在我们以后的文章里将讨论这两个方面。

作为超对称性破缺的量度。对于 $^{103}\text{Ru}_{59}$ 核的 22 个低激发能级中计算 ϕ 值，我们得到 $\phi = 5.1\%$ 。若考虑到其中七个能级所对应的 J^π 值在实验上尚未测定，而将这七个能级除外，对 15 个能级计算 ϕ 值，则得 $\phi = 6.5\%$ 。

图 2 画出了 $^{103}\text{Ru}_{59}$ 低激发能谱，左边是实验谱，右边是理论谱。

$^{103}\text{Ru}_{59}$ 核低激发能谱的理论计算值与实验值比较表明：在低于 1 MeV 时， $^{103}\text{Ru}_{59}$ 核具有 $U(6/20)$ 超对称性的可能性是存在的。

但是，为了确定 $^{103}\text{Ru}_{59}$ 核是否具有 $U(6/20)$ 超对称性，除了能谱外，还得讨论：(1) $^{103}\text{Ru}_{59}$ 核的电磁性质，(2) 是否存在相应的核超对称多重态。有关 (2) 的讨

文
献
e

参 考 文 献

- [1] 朱培豫 曹雨芳 吴佑实，高能物理与核物理，9 (1985)，273。
- [2] M. Fischler, J. Math Phys 22 (1981), 637.
- [3] M. Hamermesh, Group Theory and its Application To Physical Problems (1962).
- [4] 陈学俊 张政 孙洪洲和韩其智，中国科学(英文版), A25 (1982), 834.
- [5] Nuclear Data Sheets 28 (1979), 343.
- [6] A. B. Balantekin, I. Bars and F. Iachello, Nucl Phys A370 (1981), 284.
- [7] 朱培豫 曹雨芳 吴佑实 高能物理与核物理, 9(1985), 154.

$U(5)$ LIMIT OF $U(6/20)$ SUPERSYMMETRY IN NUCLEI

ZHU PEI-YU

(Shanghai Institute of Railway Technology)

CAO YU-FANG

(East China Normal University)

WU YOU-SHI

(Anwei Institute of Mechanical and Electrical Engineering)

ABSTRACT

In this paper we discuss the $U(5)$ limit of $U(6/20)$ supersymmetry in nuclei. First we discuss the reduction of the relevant group chain. Then we discuss the dynamical symmetry in the case of $M=1$. Finally we make comparison between the theoretical calculation and experimental measurement in the case of nucleus $^{103}_{44}\text{Ru}_{59}$.